

II-5-8 高潮発生機構に関する実験的研究(第1報)

大阪大学工学部 正室田明
同 正○村岡浩爾
建設技術研究所 正岡田耕

まえがき:—高潮挙動の実体を知るために、筆者らは高潮発生装置による一連の基礎実験と計画実験をしており、その装置の紹介と静止台風モデルによる実験結果の一部はすでに発表した。¹⁾ここでは継続する実験に備えてこの装置による気象要素と高潮との関係、および水面変動の特性を明らかにするとともに、移動台風モデルによる水面挙動の実験結果を報告する。

1. 静止時の気象条件と水位上昇量について:—水位上昇の主成因はいゝまでもなく気圧低下とwind draftによるもので、各成因による水位上昇量を h_{hs} , h_{hw} で表わすとそれらの効果は次式により比較される。²⁾

$$\begin{aligned} \partial h_{hs} / \partial x &= (1/\rho g) (\partial p / \partial x), \\ \partial h_{hw} / \partial x &= n \bar{U}^2 (\rho_a / \rho) (\nabla^2 / g H), \quad n = (z_s - z_p) / z_s. \end{aligned} \quad \left. \right\} \quad (1)$$

\bar{U}^2 の値は多くの実測、理論値があるが、ここでは水面擾乱を粗面とする抵抗則より実験値を用いて \bar{U}^2 値を求める試み。

図-1 に示す観測板下の鉛直風速分布は対数分布と仮定し、

$$\bar{U}/\bar{U}_* = A_0 + (1/\kappa) \ln(z_s/z_{hs}), \quad A_0 = 8.5, \quad \kappa = 0.4, \quad z_{hs}: \text{相当粗度}, \quad (2)$$

で表わし、 r 方向の平均風速分布は図-1 に示すものとする。

観測板下の平均風速および $\bar{U}_{hs} = 2\sqrt{\bar{U}^2}$ の観測値より \bar{U}^2 値は実験風速の範囲で 1.64×10^{-2} となる。この値は風速に関係なく理論値 ($\bar{U}^2 = 1.3 \times 10^{-3}$, for $F = 2 \text{ m}$)³⁾ より大きな値を示すが、観測板下が限られた水域内の収斂風であるためだろう。(1)式の積分形より観測板下中心付近の全水位上昇量 ($h_{hs} + h_{hw}$) が計算されるが、観測点-2 における実測値は図-2 に示すように h_{hs} の理論値よりかなり小さい。実際には種々の損失が気圧、風による上昇量を減少させていると考えられるが、この点については検討の余地がある。 $\Delta p (\approx \partial p)$, \bar{U}^2 , V などに観測値を用いて見掛け上の気圧低下と wind draft の効果の比 h_{hw}/h_{hs} を計算し浅水深の効果をみたのが図-3 である。

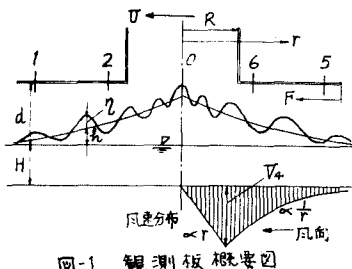


図-1 観測板概要図

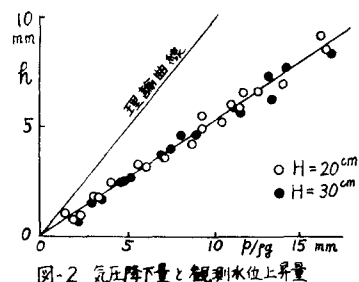


図-2 気圧降下量と観測水位上昇量

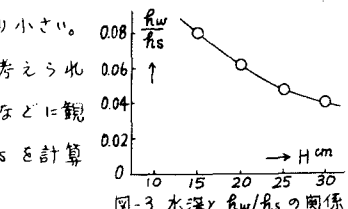


図-3 水深と h_{hw}/h_{hs} の関係

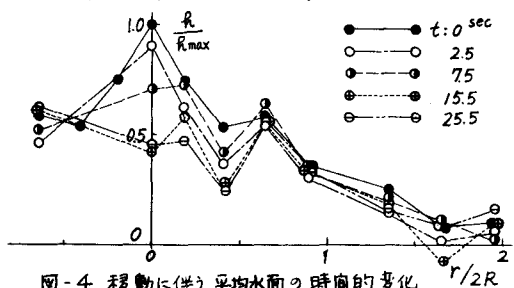


図-4 移動に伴う平均水面の時間的変化

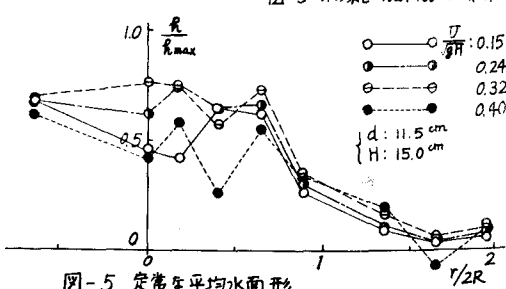


図-5 定常な平均水面形

2. 移動時の水面形について:— ファンを始動する装置を移行速度: U で動かした後、走常水面形に至るまでの遷移領域では、平均水面形は静止時の水面の peak が後方にずれて図-4 のごとく変化して行く。移動後 25 秒経過してほし走常水面形に達したと考えられる水面形は、 U/\sqrt{gH} の値で整理して図-5 に示しているが、 U/\sqrt{gH} の水面形に及ぼす影響は実験の範囲では明きうかでない。

3. 移動時の擾乱波について:— 静止時、移動時の観測卓-6 における擾乱波、および水路中心線上の一卓での波形記録を図-6 a, b, c に示す。移動中の擾乱波の波高および周期は、静止時の同条件のもとでの波に比べて極めて規則正しい分布を示しているようである。装置の移行速度を変えても同現象が見られるのは興味深いがその成因は明らかでない。図-6 c より判るごとく、気波擾乱が過ぎ去った後も ship wave としてかなりの擾乱波が残存し、その平均波高の通過距離に対する変化は図-7 に示されている。うねりの波高は気波擾乱域の波高の $1/4$ ~ $1/3$ 程度に認められている。

4. 摆乱波の発達について:— 静止時の代表観測卓(図-1 の 1, 2, 0 卓)での観測波形のユレログラム(時間単位: 0.05 秒)および Bretschneider 波に整理した波高、周期(最小時間単位: 0.05 秒)によるスペクトルを図-8, 図-9 に示す。

観測波は、表面張力が重力より卓越する限界周期 0.07 秒を下回ることはないので、ここで扱う全ての波は重力波と考えてよい。波のエネルギーは観測板の外縁から中心に向って著しく発達していることが判る。エネルギーのしめる周波数帯が波の発達過程で一様な変化を示さない卓に疑問が残るが、小規模な収斂風における波の発達、収束、および逸散の機構と関連して検討する余地がある。

あとがき:— この実験と資料整理は本学学部学生、島田杜八郎、山田哲二の両君の協力を得た。ここに謝意を表する。またこの研究は文部省科学研究費によるものであることを付記する。

- 参考文献 1) 室田・村岡・岡田「高潮発生装置の試作とその予備実験」第11回海岸工学・講演集(1964)
 2) 室田「高潮理論」水工学シリーズ 64-07 (1964)
 3) 日野「風波スペクトルの発生・発達と海面摩擦力に関する研究(1)」第10回海岸工学・講演集(1963)

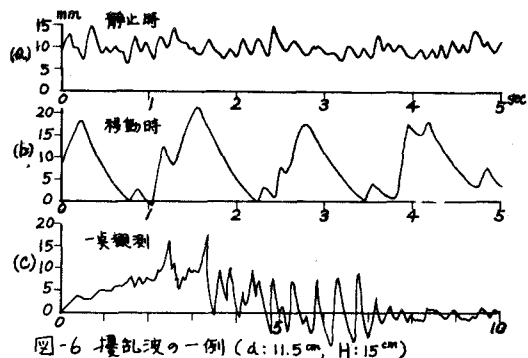


図-6 摆乱波の一例 ($d: 11.5 \text{ cm}$, $H: 15 \text{ cm}$)

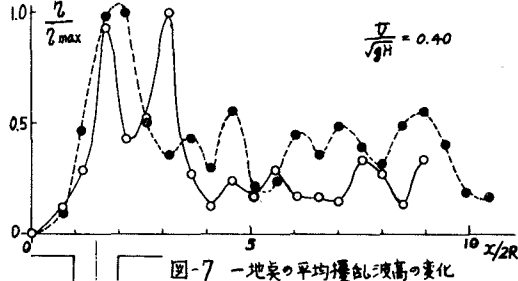


図-7 一地卓の平均擾乱波高の変化

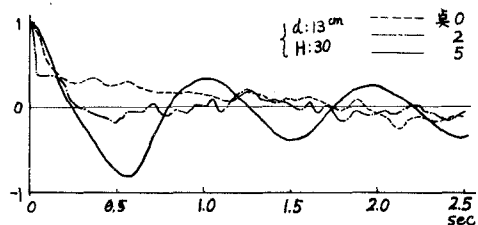


図-8 観測波のコロログラム

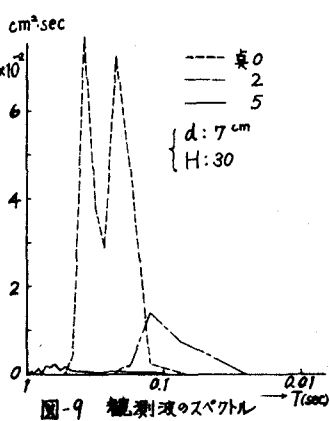


図-9 観測波のスペクトル